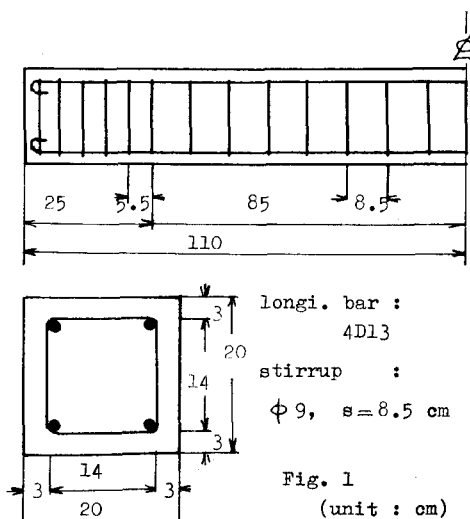


V-149 くり返しねじりをうける鉄筋コンクリート部材の挙動

国土館大学 正員 松島 博

(1) 目的 くり返しねじりをうける鉄筋コンクリート部材に関する基礎的研究として、その挙動、とくに破壊に至る経過を明らかにする。

(2) 実験 正方形断面をもつ無筋および鉄筋コンクリート部材に対して、ねじり疲労試験機を用いて荷重毎時100サイクルの速度で片ねじりをくり返して加え、CCJの発生と発達および破壊に至る挙動を観察するとともに、ねじり角とCCJの幅を測定した。また、比較のために、同一条件の部材について静的ねじり試験も併せて行なった。試験体の概要は、つきの通りである。



	No.	age (days)	concrete (kg/cm^2)				
			σ_c	σ_{tu}	σ_b	$E(10^5)$	
静的試験	無筋	A - 1	192	415	29	54	3.76
		A - 2	196				
		A - 3	199				
鉄筋試験	無筋	E - 1	69	392	25	39	2.83
		E - 2	69				
		E - 3	69				
くり返し試験	無筋	B - 1	200	415	29	53	3.76
		B - 2	201				
		B - 3	202				
0.7xM _{tc} 筋	無筋	F - 1	74	427	29	43	2.98
		F - 2	114				
		F - 3	167				

(3) 破壊に至る経過 静的ねじりCCJの発生荷重の70%をくり返して加えた場合について、主として検討する。60%以下の場合は実験を継続中であるが、CCJの発生から破壊に至る経過は70%の場合と同じでも、その進行は遙かに緩やかである。

無筋および鉄筋コンクリート部材のひずみも、静的ねじりの場合と同様に、ねじりのくり返しによってCCJの発達とともに斜め曲げ(skew bending)の状態に移行して破壊する。くり返しねじりをうける鉄筋コンクリート部材の破壊に至る経過はつきの通りである。

- a) CCJ発生 b) 破壊面形成開始 c) 破壊面完成 d) かぶりコンクリート剥落開始
- e) かぶりコンクリート全面剥落 f) コンクリートコア(スター・ラップ内部)崩壊

その状況はFig. 2の通りで、a)～c) までCCJの発達に伴ない、純ねじりの状態から斜め曲げに移行する。初期CCJ発生後、CCJは部材の全面に発達し、最初の間はほとんど全部のCCJが伸びるとともにその幅を広げるが、ある程度発達して破壊面形成が始まった後は、ほとんどのCCJが長さの伸びを停止し、その幅は広がるもの、変化のないもの、および反対に縮むものがある。このようにして、純ねじりから斜め曲げの状態へと移行していく。

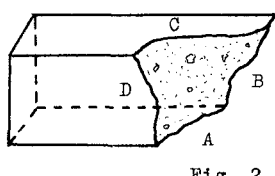
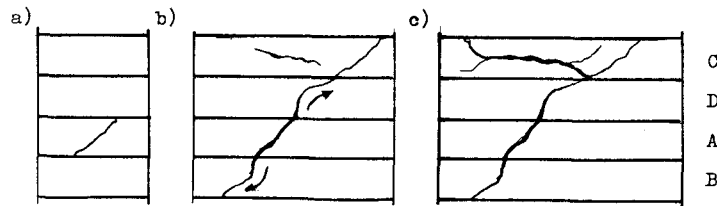


Fig. 2



ここで、部材の各面 (Fig. 2 の A, B, C, D 面) ごとの、C.C. や幅合計量の変化について検討する。

Fig. 3 は、ねじりくり返し回数 N に対する

3. ねじり角 θ および面ごとの C.C. や幅合計 w の関係を示す。図中の a)

～ d) は、前記の破壊経過を示す記号である。これによれば、

1) 斜め曲げ破壊面の形成が始まる前後から、合計 C.C. や幅合計の傾向には面ごとに差が現われる。その差が著しくなるとともに破壊面が完成する。とくに、破壊近傍では、この傾向は w_A 面と w_C 面との比較で示される通りである。

2) θ と w の増加は、ほど比例している。また、a) と c) では、ひびきの増加割合も緩やかで、部材内部の鉄筋構造の変化を示す。

(4) 变形 内じり角 θ を、静的とくり返しについて比較し Fig. 4 に示す。くり返しのとき、その荷重レベルが静的破壊強度の約 40 % に過ぎないのに、破壊時内じり角は著しく大きい。両者の破壊時 C.C. や幅合計発生状況の比較によれば、くり返しの場合は、静的のときよりも C.C. や幅合計数が多く、しかも、全体へ発達している。

Fig. 3 にみられるように、合計 C.C. や幅から推測した内じり角は実測値の約 1/2 であるが、これは、ねじりのくり返しによって C.C. や幅のコンクリートの剛度が低下するためであろう。くり返しねじりに伴う無筋コンクリート部材のねじり剛度の低下の一例は、Fig. 5 の通りである。

(5) むすび り 荷重レベルの高いくり返しねじりによる C.C. や幅の発達と破壊の進行は急速で、変形も大きく、危険である。

2) ねじりのくり返しによって、部材は均一のねじりの状態から次第に斜め曲げに移行する様子が明らかに観察された。これによって、コンクリート部材のねじり疲労に対する解析の手がかりが得られた。

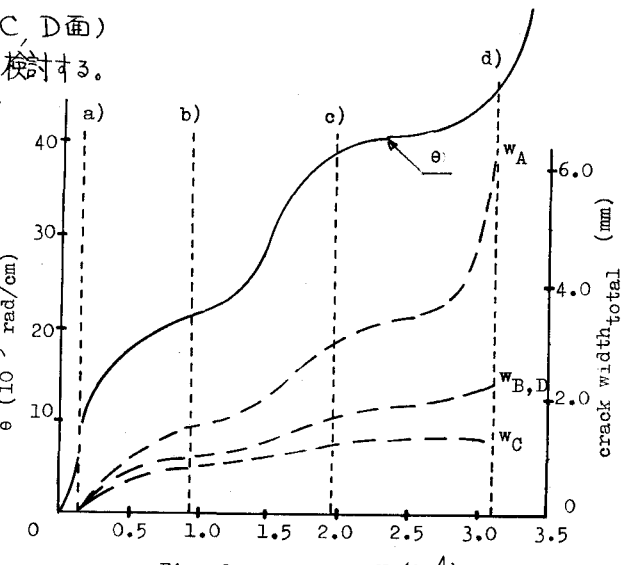


Fig. 3

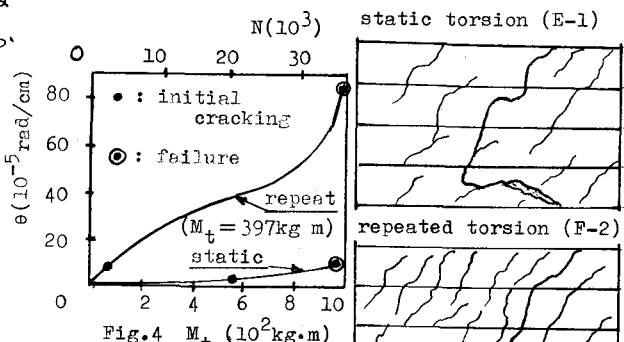


Fig. 4

